

Modeling Halo Orbits and the Associated Manifolds in the Restricted Three Body Problem

M. Jafari Nadoushan^{1*} and S. H. Pourtakdoust²

1. Department of Aerospace Engineering, K. N. Toosi University of Technology

2. Center for Research and Development in Space Science and Technology, Sharif University of Technology

*Azadi Ave., Tehran, IRAN

mehdi88@gmail.com

Development of halo orbits and their associated invariant manifolds are investigated. Halo orbits play a fundamental role in complex space mission designs. In essence, halo orbits are periodic solutions of the restricted three body problem (R3BP) determined under specific initial conditions. In this paper, the symmetric property of the nonlinear R3BP governing differential equations is utilized in order to obtain the desired initial conditions. In this regard the differential correction technique and the state transition matrix are used to generate the halo orbits. The differential correction technique, based on the Newton method, is an effective tool for solving two point boundary value problems. In addition to generate the stable and unstable manifolds, the initial conditions are perturbed in the direction of Eigenvectors and the equations of motion are integrated for an arbitrary time interval.

Keywords: restricted three body problem, halo orbits, stable and unstable manifolds, differential correction technique

1. M.Sc. Student

2. Professor (Corresponding Author)

مدل سازی مدارهای هاله‌ای و منیفلدهای پایدار و ناپایدار در مسئله سه جسم محدود

مهدى جعفری ندوشن^{۱*} و سید حسین پور تاکدوست^۲

۱- دانشکده مهندسی هوافضا، دانشگاه صنعتی خواجه نصیرالدین طوسی

۲- پژوهشکده توسعه علوم و فناوری فضایی، دانشگاه صنعتی شریف

*تهرانپارس، وفادار شرقی

mehdi88@gmail.com

در این مقاله، تولید مدارهای هاله‌ای و منیفلدهای پایدار و ناپایدار آن در مسئله سه جسم محدود دایروی مورد توجه قرار گرفته است. مدارهای هاله‌ای در طراحی مأموریت‌های فضایی پیچیده نقش اساسی دارند. مدارهای هاله‌ای در واقع حل تناوبی مسئله سه جسم محدود دایروی هستند که با اعمال شرایط اولیه خاص حاصل می‌شوند. در این مقاله از خاصیت تقارن معادلات مسئله سه جسم محدود دایروی که معادلات دیفرانسیل عادی غیرخطی مرتبه دوم هستند، بهره گرفته شده است تا این شرایط اولیه مطلوب به دست آید و حل آسان شود. برای حل تناوبی مسئله از روش تصحیح دیفرانسیلی و ماتریس انتقال حالت استفاده شده است. روش تصحیح دیفرانسیلی، روشی کارا و مبتنی بر روش نیوتون است که در حل مسائل با شرایط مرزی استفاده می‌شود. به منظور تولید منیفلدهای پایدار و ناپایدار در حل تناوبی در راستای بردارهای ویژه اختلال ایجاد کرده‌است و با تحصیل شرط اولیه مناسب، از معادلات انتگرال‌گیری می‌شود.

واژه‌های کلیدی: مسئله سه جسم محدود دایروی، مدار هاله‌ای، منیفلدهای پایدار و ناپایدار، خاصیت تقارن، روش

تصحیح دیفرانسیلی

ندارد و برآختنی نمی‌توان از آن برای طراحی مسیرهای فضایی استفاده کرد. ولی خوشبختانه در خصوص مسئله سه جسم محدود، تحقیقات زیادی انجام شده است و قابلیت به کارگیری از خواص آن در طراحی مسیرها و مأموریت‌های بین‌سیاره‌ای وجود دارد. مسئله سه جسم محدود دایروی قدمی در این راستاست که اجزاء می‌دهد دینامیک حرکت یک فضاییما تحت اثر گرانش دو جسم سماوی بررسی و مدل سازی شود. شروع طراحی مأموریت‌های فضایی با مسئله سه جسم، آرایش‌های گوناگونی از مدارهای ممکن را به دست می‌دهد که برای دست‌یابی به اهداف مطلوب مفید واقع می‌شوند. نقاط لاغرانتی که نقاط تعادلی در مسئله سه جسم هستند، به عنوان پایگاه‌هایی برای مأموریت‌های فضایی یا اصولاً هدف برخی مأموریت‌های فضایی مد نظر هستند. مدارهای لیاپانوف، هاله‌ای و لیساجوس نیز از سایر پدیده‌های حاصل از مسئله سه

مقدمه

محاسبه و تحلیل مداری بر اساس مسئله دو جسم برای برخی از مأموریت‌های دقیق مثل به کارگیری و قراردهی تلسکوپ‌های فضایی، نتایج دقیقی به دست نمی‌دهد. در این گونه موارد برای دست‌یابی به اطلاعات و نتایج قابل اعتمادتر، بهتر است که فضاییما (جسم ثانویه) تحت اثر میدان گرانشی همزمان دو جرم سماوی (جسم اولیه) در نظر گرفته شود و در این صورت دینامیک حرکت بررسی شود. متأسفانه مسئله سه جسم در حالت کلی جواب تحلیلی

۱. دانشجوی کارشناسی ارشد

۲. استاد (نویسنده مخاطب)

داد. بعداً دستیار نیوتن، لئونارد اویلر، اولین سادهسازی را بر روی مسئله سه جسم انجام داد و مسئله سه جسم محدود را معرفی کرد. اواخر قرن نوزدهم و اوایل قرن بیستم میلادی، ژولیوس هتری پوانکاره انتگرال ناپذیری مسئله سه جسم را اثبات کرد که در نهایت کار وی اساس تئوری سیستم‌های دینامیکی مدرن قرار گرفت. یکی از کارهای بسیار مهم پوانکاره، اثبات وجود مدارهای تناوبی در مسئله سه جسم بود. وی اثبات کرد که بینهایت مدار تناوبی گوناگون موجود است [۶]. در سال ۱۹۲۰ مولتون [۷] «مدارهای تناوبی» را منتشر کرد، که مجموعه مطالعات بیش از پنجاه نویسنده در مورد حل تقریبی حرکت‌های تناوبی در نزدیکی پنج نقطه تعادلی بود.

اصطلاح مدار هالهای را اولین بار، فارکوهار در ابتدای دهه ۱۹۷۰ میلادی مطرح کرد. فارکوهار و کامل [۸] در سال ۱۹۷۳ با استفاده از روش لیناستید- پوانکاره به تقریب مرتبه سوم برای حرکت شبه‌تناوبی حول نقطه تعادلی سیستم زمین- ماه دست یافتند. چند سال بعد ریچاردسون و کری [۹] تقریب مرتبه چهارم را برای سیستم خورشید- زمین گسترش دادند. در سال ۱۹۸۴ با استفاده از روش تنظیم سه بعدی، هاول و بریکول [۱۰] تقریبی را برای مدارهای هالهای بدست آوردند. در سال ۲۰۰۳، ویچ من، دودل و پافنروشا [۱۱] به نتایج عددی برای ارتباط بین مدارهای محوری، هالهای و لیاپانوف با استفاده از نرم‌افزار آتو^۷ دست یافته‌اند.

معادلات حرکت مسئله سه جسم محدود دایروی

حرکت فضاییما تحت میدان گرانشی دو جسم وزین، که حرکت کپلری در مدار دایروی دارند، به مسئله سه جسم محدود دایروی معروف است. با استفاده از روش‌های مختلف مرسوم و در دستگاه مختصات‌های گوناگون می‌توان معادلات حاکم بر این مسئله را استخراج کرد. با این وجود برای بررسی مسئله، کار در دستگاه چرخان را انتخاب می‌کنیم. به این ترتیب که مبدأ دستگاه چرخان را در مرکز جرم اجسام اولیه چنان درنظر می‌گیریم که بردار موقعیت اجسام اولیه فقط مؤلفه x باشد. بدین ترتیب اجسام اولیه با مختصات $(x_1, 0, 0)$ و $(x_2, 0, 0)$ روى محور x ها ثابت می‌مانند. ثابت‌بودن موقعیت اجسام اولیه برای تحلیل دینامیکی مفید خواهد بود. چرا که معادلات غیرخودگردان به خودگردان تبدیل می‌شوند و این موضوع به نقاط ثابت منجر می‌شود. البته می‌توان معادلات را در دستگاه اینرسی هم به دست آورد و سپس با استفاده از ماتریس تبدیل

جسم هستند. مدارهای لیاپانوف، مدارهای تناوبی دو بعدی هستند که در صفحه حرکت اجسام ثانویه شکل می‌گیرند. مدارهای هالهای، مدارهای تناوبی سه بعدی هستند که فرکانس حرکت در صفحه با فرکانس حرکت خارج از صفحه برابر است و مدارهای لیساجوس، مدارهای شبه تناوبی سه بعدی هستند که فرکانس حرکت در صفحه با فرکانس حرکت خارج از صفحه برابر نیست. وجود منیفلدهای پایدار و ناپایدار برای هر یک از این مدارها، موجب کاهش انرژی لازم برای انتقال فضاییما به آن‌ها می‌شود [۱]. در این مقاله، تولید مدارهای هالهای و منیفلدهای پایدار و ناپایدار مدنظر است.

مدارهای هالهای چه در مأموریت‌های گذشته و چه در مأموریت‌های آینده نقش بسزایی ایفا می‌کنند [۲]. در ۳۰ سال گذشته انجاری در قابلیت‌های طراحی و مدیریت مأموریت‌ها به نقاط لاغرانژی رخ داده است. نقطه آغازین این انجار مأموریت کاوشگر بین‌المللی خورشید- زمین بود. فضاییما آی‌اس‌ای-۳^۳ در ۱۲ آگوست ۱۹۷۸ به منظور مطالعه بر هم کنش زمین و خورشید پرتاب شد. بعد از انتقال مستقیم آی‌اس‌ای-۳ به حول نقطه لاغرانژی L_1 خورشید- زمین، وارد مدار تقریباً تناوبی هالهای شد تا بادهای خورشیدی را یک ساعت قبل از برخورد به کره مغناطیسی زمین مورد کاوش و دیدهبانی قرار دهد. بعد از چندین گردش در مدار هالهای L_1 ، فضاییما به سمت نقطه L_2 به منظور جستجوی دماغناطیسی زمین روانه شد. بعد از آن با انجام مانور کمک گرانشی مضاعف، فضاییما به کاوشگر بین‌المللی دنباله‌دار^۴ تغییر نام داد و با ستاره دنباله‌دار گیاکوبنی- زینر ملاقات کرد [۳].

یکی دیگر از مأموریت‌ها که دستاوردهای مهمی را نیز در پی داشت، مأموریت جنسیس^۵ بود که در سال ۲۰۰۱ پرتاب شد و طی آن فضاییما به نقطه L_1 سیستم خورشید- زمین فرستاده شد و در مدار لیساجوس قرار گرفت [۴]. جنسیس، اولین مأموریت طراحی شده بر اساس تئوری سیستم‌های دینامیکی مدرن است. مسیر بهینه حرکت جنسیس با استفاده از منیفلدهای پایدار مدار لیساجوس نامی حاصل شده است. مأموریت گایا^۶، مأموریتی است که برای سال ۲۰۱۲ در نظر گرفته شده است. در طی این مأموریت فضاییما در مدار لیساجوس حول نقطه L_2 سیستم خورشید- زمین قرار خواهد گرفت. انتخاب مدار حاصل مصالحة بین مخابرات، عملکرد، هزینه، محیط حرارتی و راکتهاي موجود است [۵].

مسئله سه جسم سابق طولانی دارد. نیوتن در سال ۱۶۸۷ تحلیل دینامیکی مسئله سه جسم را در کتاب «پرینسپیا» گسترش

3. ISSE-3

4. ICE

5. Genesis

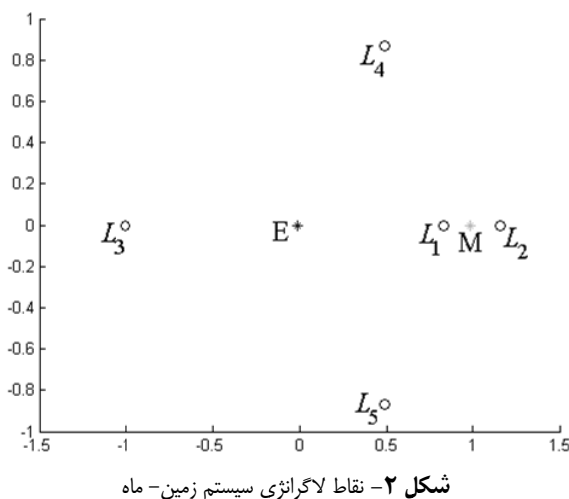
6. در افسانه‌های یونانی به الهه زمین که با اورانوس ازدواج کرد، گفته می‌شود (GAIA).

$$U(x, y, z) = \frac{1}{2} \left(x^2 + y^2 \right) + \frac{1-\mu}{r_1} + \frac{\mu}{r_2} \quad (4)$$

و تغییر متغیر مناسب می توانیم معادلات حرکت را به شکل میدان برداری تعریف کنیم:

$$\mathbf{x} = \begin{bmatrix} \dot{x} \\ \dot{y} \\ \dot{z} \\ \dot{u} \\ \dot{v} \\ \dot{w} \end{bmatrix} = \begin{bmatrix} u \\ v \\ w \\ x + 2\dot{y} + D_x U \\ y - 2\dot{x} + D_y U \\ D_z U \end{bmatrix} = f(\mathbf{x}) \quad (5)$$

که در آن w, v, u مؤلفه های بردار سرعت جسم ثانویه است و $\mathbf{x} \in \mathbb{R}^6$ بردار حالت و $f: \mathbb{R}^6 \rightarrow \mathbb{R}^6$ میدان برداری است. دستگاه معادلات فوق، پنج نقطه تعادلی دارد. این نقاط تعادل در واقع ریشه های معادله $f(\mathbf{x}) = 0$ خواهند بود. این نقاط را که اویلر و لاگرانژ کشف کرده اند به دو دسته همراستا و مثلثی تقسیم می شوند. در دسته اول سه نقطه قرار دارد که با L_1, L_2, L_3 نشان داده می شوند و در دسته دوم دو نقطه وجود دارد که با L_4, L_5 نشان داده می شود (شکل ۲). این نقاط به نقاط لاغرانژی معروف هستند [۱۲].



شکل ۲ - نقاط لاغرانژی سیستم زمین - ماه

ماتریس $(t, t_0) \Phi$ مشتق فلوی تولیدی، $\phi(t, \mathbf{x})$ توسط معادله دیفرانسیل حرکت است که ماتریس انتقال حالت یا منورومی نامیده می شود و به صورت موضعی، بهترین تقریب خطی برای فلو است. فلو دارای خصوصیات زیر است:

1. $\phi(0, \mathbf{x}) = \mathbf{x}$
2. $\phi(t+s, \mathbf{x}) = \phi(t, \phi(s, \mathbf{x}))$
3. $\frac{d}{dt} \phi(t+s, \mathbf{x})|_{t=\tau} = f(\phi(\tau, \mathbf{x}))$

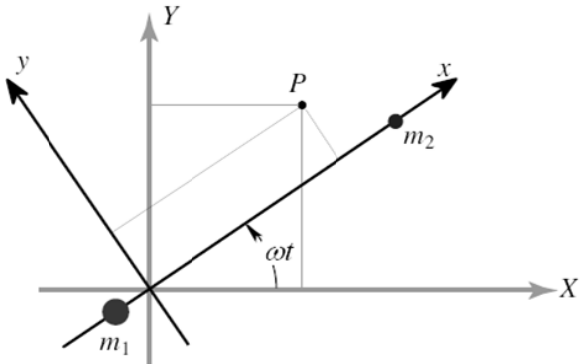
متعامد با آرگومان حاصل ضرب سرعت زاویه ای اجسام اولیه، حول مرکز جرم شان در زمان، ωt ، معادلات را در دستگاه چرخان بیان کرد (شکل ۱). توصیف این حرکت در دستگاه چرخان، به صورت زیر بیان می شود [۱]:

$$\begin{bmatrix} \ddot{x} \\ \ddot{y} \\ \ddot{z} \end{bmatrix} = \begin{bmatrix} \omega^2 x + 2\omega \dot{y} - G \left(\frac{m_1}{r_1^3} (x + x_1) + \frac{m_2}{r_2^3} (x - x_2) \right) \\ \omega^2 y - 2\omega \dot{x} - G \left(\frac{m_1}{r_1^3} y + \frac{m_2}{r_2^3} y \right) \\ -G \left(\frac{m_1}{r_1^3} z + \frac{m_2}{r_2^3} z \right) \end{bmatrix} \quad (1)$$

که در معادله فوق تعاریف زیر را داریم:

$$\begin{aligned} r_1 &= \sqrt{(x + x_1)^2 + y^2 + z^2} \\ r_2 &= \sqrt{(x - x_2)^2 + y^2 + z^2} \end{aligned} \quad (2)$$

ω سرعت زاویه ای اجسام اولیه حول مرکز جرم شان و مؤلفه های بردار موقعیت جسم ثانویه هستند و m_1 و m_2 جرم اجسام اولیه هستند. سیستم دینامیکی که با دستگاه معادلات فوق تعریف شد، مسئله سه جسم محدود دایروی با واحد های فیزیکی نامیده می شود.



شکل ۱ - دستگاه مختصات اینرسی و چرخان

به منظور راحتی کار با تعاریف فاصله بین اجسام اولیه به عنوان فاصله واحد و مجموع جرم اجسام اولیه به عنوان جرم واحد و سرعت زاویه واحد بی بعد شده، معادلات را بازنویسی می کنیم:

$$\begin{bmatrix} \ddot{x} \\ \ddot{y} \\ \ddot{z} \end{bmatrix} = \begin{bmatrix} x + 2\dot{y} - \frac{1-\mu}{r_1^3} [x + \mu] + \frac{1-\mu}{r_2^3} [x - (1-\mu)] \\ y - 2\dot{x} - \frac{1-\mu}{r_1^3} y - \frac{1-\mu}{r_2^3} y \\ -\frac{1-\mu}{r_1^3} z - \frac{1-\mu}{r_2^3} z \end{bmatrix} \quad (3)$$

که در آن $\mu = \frac{m_2}{m_1 + m_2}$ است. با تعریفتابع پتانسیل به صورت:

تولید مدارهای هاله‌ای

برای تولید مدارهای هاله‌ای از خاصیت تقارن مسئله استفاده می‌کنیم. گرچه در نگاه اول تقارنی در مسئله مشاهده نمی‌شود، ولی هندسه فضای موقعیت مسئله نسبت به چرخش حول محور x که اجسام اولیه روی آن قراردارند، متقاض است. ضمن اینکه نقاط لاغرانژی همراستا و نیز مثلثی هم نسبت به این محور متقاض هستند. نقطه \mathbf{x}_0 را در فضای فاز مسئله سه جسم محدود دایروی درنظر بگیرید. $\mathbf{x}_0 \in \phi(\mathbf{x}_0, [0, T])$ منحنی مسیری است که با گذر زمان T به جلو از

$$\mathbf{x}_f = \phi(\mathbf{x}_0, T) \text{ لذا}$$

$$\phi^*(A\mathbf{x}_f, [0, T]) \equiv A\phi(\mathbf{x}_f, [0, -T]) \quad (10)$$

که در آن

$$A = \begin{bmatrix} 1 & 0 & 0 & 0 & 0 & 0 \\ 0 & -1 & 0 & 0 & 0 & 0 \\ 0 & 0 & 1 & 0 & 0 & 0 \\ 0 & 0 & 0 & -1 & 0 & 0 \\ 0 & 0 & 0 & 0 & 1 & 0 \\ 0 & 0 & 0 & 0 & 0 & -1 \end{bmatrix}$$

است، مسئله سه جسم محدود دایروی را با $A\mathbf{x}_f = A\mathbf{x}_0$ و $\phi^*(A\mathbf{x}_f, T) \equiv A\mathbf{x}_0$ حل می‌کند. فرض کنید که در زمان $t = 0$ مسیر ϕ از نقطه \mathbf{x}_0 در صفحه xz شروع شود. به علاوه فرض کنید که در این لحظه بردار سرعت بر صفحه xz عمود باشد. یعنی اینکه بردار سرعت مؤلفه‌ای در راستای x و z ندارد. همچنین فرض کنید که در زمان $t = \tau$ مسیر ϕ به صفحه xz با بردار سرعت عمود بر صفحه ولی در جهت مخالف زمان صفر باز گردد. بنابراین مدار $T - \tau$ -تناوبی است با $T = 2\tau$.

ما از این شرایط برای محاسبه مدار تناوبی استفاده می‌کنیم. به این شکل که شرط اولیه‌ای در صفحه xz انتخاب می‌کنیم که در شرط تقارن صدق کند. سپس از آن انتگرال‌گیری می‌کنیم تا با جهت مخالف به صفحه برگردیم. این مدار به عنوان حدس اولیه الگوریتم نیوتن در روش تصحیح دیفرانسیلی مورد استفاده قرار می‌گیرد.

تقارن مسئله سه جسم محدود بیان می‌کند که اگر مدار شرایط تقارن را برآورده کند، آن مدار تناوبی است. بنابراین می‌توان مدار تناوبی را با نیم مدار آن هم تعیین کرد و سپس با استفاده از خواص تقارن مدار را کامل کرد. منطقی به نظر می‌رسد که ماتریس منودرمی مدار کامل به ماتریس انتقال حالت نیم مدار بستگی داشته باشد. یعنی اگر \mathbf{x}_0 و \mathbf{x}_f و τ را به

خاصیت ۳ می‌گوید که منحنی $\phi(t, \mathbf{x}_0)$ یک مسیر حل معادله $\dot{\mathbf{x}} = f(\mathbf{x})$ با شرط اولیه \mathbf{x}_0 است [۱۳].

روش حل

دینامیک مسئله سه جسم رفتاری به شدت غیرخطی دارد. بنابراین استفاده از هر روش عددی برای دست‌یابی به حل آن امکان‌پذیر نیست. حل این مسئله، نیازمند روشی است که در آن تمامی ظرافت‌ها و حساسیت‌های دینامیک نسبت به تغییر در پارامترها و اصلاح دس‌های اولیه لحاظ شده باشد. روش تصحیح دیفرانسیلی [۱۴]، کاربرد روش نیوتن است که در آن از ماتریس انتقال حالت برای حل مسائل با شرایط مرزی استفاده می‌کند. استفاده از ماتریس انتقال حالت برای تصحیح دس اولیه باعث می‌شود که میزان تغییر در دس اولیه به مناسب‌ترین شکل صورت پذیرد و فرایند حل با تعداد تکرارهای کمتری نسبت به روش‌های دیگر به جواب برسد. البته روش‌های دیگری مثل کالولوکیشن هم وجود دارند. روش کالولوکیشن که بر اساس گسسته‌سازی معادلات در دامنه حل عمل می‌کند، روشی مقاوم و پایرچا محسوب می‌شود. در این مقاله، از روش تصحیح دیفرانسیلی، با توجه به ویژگی‌های آن استفاده شده است که در ادامه به شرح آن پرداخته می‌شود.

فرض کنید که \mathbf{x}_0^* مداری باشد که از $\mathbf{x}_0^*(\tau) = \phi(t, \mathbf{x}_0^*)$ در زمان صفر می‌گذرد. \mathbf{x}^* را حل مرجع می‌نامیم. فرض کنید که در زمان مشخص $\tau = t$ حل مرجع از نزدیکی نقطه \mathbf{x}_f می‌گذرد، به طوری که برای $|\mathbf{x}_f - \mathbf{x}^*(\tau)| < \varepsilon$ ، $\varepsilon > 0$ باشد. هدف یافتن شرط اولیه \mathbf{x}_0^* در نزدیکی \mathbf{x}_0 و زمان T در نزدیکی \mathbf{x}_f می‌باشد. هنوزی که $|\phi(T, \mathbf{x}_0) - \mathbf{x}_f| < \delta$ یا $|\phi(T, \mathbf{x}_0) - \mathbf{x}_f| < \delta$ روش نیوتن روش خوبی برای این کار است:

$$\mathbf{x}_{n+1} = \mathbf{x}_n - [D_x f(\mathbf{x}_n)]^{-1} f(\mathbf{x}_n), \quad \mathbf{x}_0 = \mathbf{x}_0^* \quad (7)$$

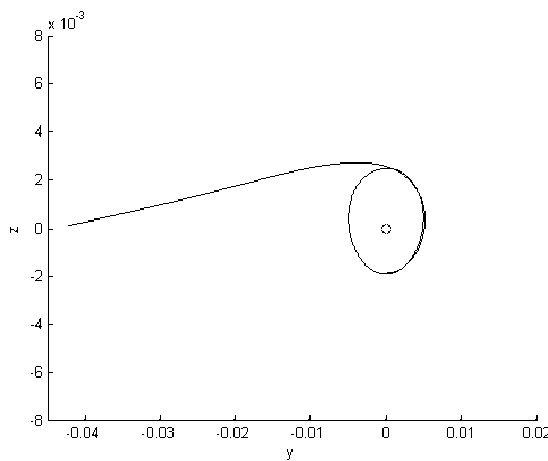
$f(\mathbf{x})$ در مسئله ما عبارت است از:

$$f(\mathbf{x}) = \phi(\tau, \mathbf{x}) - \mathbf{x}_f \quad (8)$$

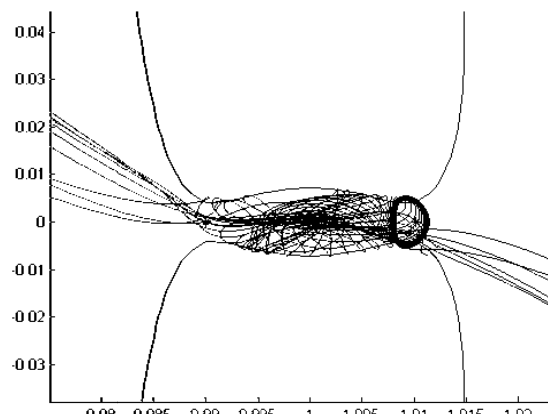
برای رسیدن به شرط اولیه مناسب، الگوریتم نیوتن همانند رابطه ۹ خواهد بود:

$$\begin{aligned} \mathbf{x}_{n+1} &= \mathbf{x}_n - [\Phi(\tau, t_0)|_{\mathbf{x}_n}]^{-1} f(\mathbf{x}_n) \\ &= \mathbf{x}_n - [\Phi(\tau, t_0)|_{\mathbf{x}_n}]^{-1} [\phi(\tau, \mathbf{x}) - \mathbf{x}_f], \quad \mathbf{x}_1 = \mathbf{x}_0^* \end{aligned} \quad (9)$$

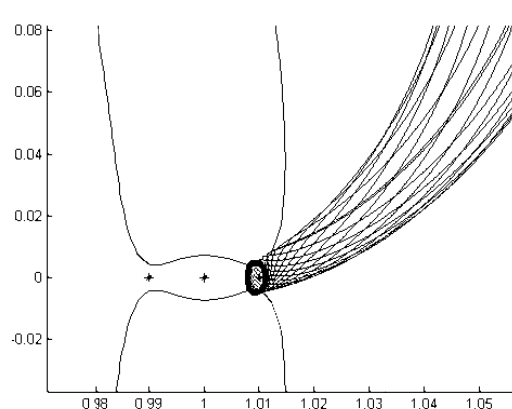
که در همسایگی این نقطه قرار می‌گیرد، می‌تواند داده‌های مفیدی را از بادهای خورشیدی، پیش از آن که به مگنتوسفر زمین برخورد کنند در اختیار قرار دهد. از دیگر کاربری‌های مدارهای هالهای می‌توان به قرارگیری فضاییما در اطراف نقطه L_2 سیستم زمین-ماه به عنوان ایستگاه ارتباط مخابراتی اشاره کرد.



شکل ۳- تصویر مدار هالهای در صفحه $\mathbb{Z}L_2$ حول نقطه L_2



شکل ۴- تصویر از نزدیک منیفلد ناپایدار مدار هالهای حول L_2



شکل ۵- تصویر از نزدیک منیفلد پایدار مدار هالهای حول L_2

عنوان نقطه آغازین، نقطه پایانی و مدت زمان عبور از x_0 به x_f فرض کنید، برای محاسبه ماتریس منودرمی یک مدار متقارن تنها بر اساس اطلاعات نیم مدار که با $\phi(x_0, [0, T])$ پیوند دارد از رابطه زیر می‌توان استفاده کرد:

$$\Phi(0, T) = AJ\Phi(0, \tau)^T J^{-1}A\Phi(0, \tau) \quad (11)$$

که در آن $T = 2\tau$ است.

منیفلدهای پایدار و ناپایدار

از آنجا که دینامیک حرکت حول نقاط لاغرانژی هم‌راستا رفتار مرکز-مرکز-زیبی دارد [۱۲]، ماتریس منودرمی بردارهای ویژه‌ای دارد که پایه‌ای برای فضای ویژه پایدار و ناپایدار هستند. با بررسی همسایگی بهاندازه کافی کوچک، مدار هالهای منیفلدهای پایدار و ناپایدار موضعی قابل شناسایی هستند. منیفلدهای پایدار و ناپایدار در نزدیکی مدار هالهای به ترتیب بر فضای ویژه پایدار و ناپایدار مماس هستند [۱۳].

X_k^* را به عنوان k امین نقطه روی مدار هالهای در نظر می‌گیریم. سپس با استفاده از آن، فضای مماسی بر منیفلد پایدار و ناپایدار را بدست می‌آوریم. این نقطه را در راستای بردارهای ویژه پایدار و ناپایدار با تولرانس بهاندازه کافی کوچک و دچار اختلال می‌کنیم:

$$\begin{aligned} x_{u_k}(0) &= x_k^* \pm \varepsilon \xi_{u_k} \\ x_{s_k}(0) &= x_k^* \pm \varepsilon \xi_{s_k} \end{aligned} \quad (12)$$

نقاطی هستند که به منیفلدهای ناپایدار و پایدار سیار نزدیک هستند. در عبارت فوق ξ_{u_k} و ξ_{s_k} به ترتیب بردارهای ویژه پایدار و ناپایدار ماتریس منودرمی هستند. با انتگرال‌گیری از شرایط اولیه فوق در بازه زمانی دلخواه، منیفلدهای پایدار و ناپایدار حاصل می‌شوند. با تعیین k و t تقریب خوبی از منیفلدها بدست می‌آوریم.

نتیجه گیری

در این مقاله نحوه مدل سازی و استخراج مدارهای هالهای و منیفلدهای پایدار و ناپایدار آن در مسئله سه جسم محدود دایروی مورد بررسی قرار گرفته است. این فرایند برای سیستم خورشید-زمین در نزدیکی نقطه لاغرانژی L_2 به کار گرفته شده است و نتایج آن در شکل‌های (۳) تا (۵) نشان داده شده‌اند. مدارهای هالهای دارای ارزش‌های کاربردی متعدد است که در تعدادی از مأموریت‌های فضایی از آنها استفاده شده است. برای مثال مدار هالهای حول نقطه L_1 سیستم خورشید-زمین موقعیت ایده‌آلی برای نظارت و کنترل پیوسته محیط‌های بین سیاره‌ای است. فضاییمایی

Mechanics and Dynamical Astronomy, Vol. 7, No. 4, 1973, pp. 458-473.

- [9] Richardson D. and Cary, N., "A Uniformly Valid Solution for Motion about the Interior Libration Point of the Perturbed Elliptic-Restricted Problem." *AAIA/AAS Astrodynamics Conference*, Paper No. AAS 75-021, Nassau, Bahamas, July 28-30, 1975.
- [10] Howell K. and Breakwell, J. "Almost Rectilinear Halo Orbit.", *Celestial Mechanics and Dynamical Astronomy*, Vol. 32, No. 1, January 1984, pp. 29-52.
- [11] Dichmann, D., Doedel, E. and Paffenroth, R., *The Computation of Periodic Solutions of the 3-Body Problem Using the Numerical Continuation Software AUTO, Libration Point Orbits and Applications*, Hong Kong, World Scientific, 2003.
- [12] Szebehely, V., *Theory of Orbits: The Restricted Problem of Three Bodies*, New York: Academic Press, 1967.
- [13] Perko, L. *Differential Equations and Dynamical Systems*, Springer-Verlag, 3rd Edition, 2001.
- [14] B. T., Barden, Using Stable Manifolds to Generate Transfers in the Circular Restricted Problem of Three Bodies, M. Sc. Thesis, School of Aeronautics and Astronautics, Purdue University, West Lafayette, Indiana, December 1994.

مراجع

- [1] Koon, W. S., Lo, M. W., Marsden, J. E. and Ross, S. D., *Dynamical Systems, the Three-Body Problem and Space Mission Design, Engineering Science and Mechanics*, Virginia Polytechnic Institute and State University, 1999.
- [2] Zazzera, F., Topputo, F., Massari, M., *Assessment of Mission Design Including Utilization of Libration Points and Weak Stability Boundaries*, Technical Report AO 4532 03/4130, Milan, Italy, 2004.
- [3] [on line]: Available, <http://stardust.jpl.nasa.gov/comets/ice.html>
- [4] [on line]: Available, <http://genesismission.jpl.nasa.gov/>
- [5] [on line]: Available, <http://www.rssd.esa.int/gaia/>
- [6] H. Poincare, *Les Methodes Nouvelles de la Mecanique Celeste, Vol. 1*, 1892, *New Methods of Celestial Mechanics (English Translation)*, Vol. 13, *History of Modern Physics and Astronomy*, Editor and Introduced by Daniel L. Goroff, American Institute of Physics, 1993.
- [7] F. Moulton (*in collaboration with D. Buchanan, T. Buck, F. Griffin, W. Longley, and W. MacMillan*), "Periodic Orbits", Carnegie Institute of Washington, Washington D.C., 1920.
- [8] Farquhar, R. W. and Kamel, A. "Quasi-Periodic Orbits about the Translunar Libration Point," *Celestial*